

01;03

О структуре волн на заряженной границе раздела вязких жидкостей, лежащих на твердом дне

© А.В. Климов, А.И. Григорьев, С.О. Ширяева

Ярославский государственный университет им П.Г. Демидова,
150000 Ярославль, Россия
email: grig@uniyar.ac.ru

(Поступило в Редакцию 11 октября 2011 г.)

В двухслойной системе несмешивающихся вязких жидкостей для волнового движения найдены решения в первом порядке теории приближений. Определены гидродинамические потенциалы, функции тока, образующая формы и электростатический потенциал заряженной границы раздела двух вязких жидкостей, одна из которых электропроводная, а другая диэлектрическая, на твердом дне. Показано, что в случае, когда плотность верхней среды на три и более порядка меньше плотности нижней среды, или в случае, когда величина кинематической вязкости верхней среды пренебрежимо мала в сравнении с аналогичной величиной вязкости нижней среды, влияние верхней среды на движение жидкости в нижней среде пренебрежимо мало. Исследована структура волнового движения, порождаемого границей раздела сред.

Введение

Изучение физических закономерностей реализации гравитационно-капиллярно-флуктуационного волнового движения в плоском слое вязкой электропроводной жидкости конечной толщины представляет интерес в связи с многочисленными техническими и технологическими приложениями [1–3]. Ранее было выполнено немало работ, посвященных капиллярно-гравитационному волновому движению в слоях вязкой жидкости [4–7], но весь спектр волнового движения не затрагивался. Тем не менее хорошо известно [1–3], что в области коротких длин волн (короче 10 nm [4]) именно силы флуктуационной природы ответственны за появление волн, которые имеют такой же закон дисперсии как гравитационные волны [1,3]. Силы флуктуационной природы возникают вблизи поверхности твердых тел (твердого дна или твердой стенки) на расстояниях ~ 100 nm и вызывают изменение физико-химических свойств жидкостей [2,8–10]. Вопрос о структуре течений (о закономерностях распределения по толщине слоя вихревой и потенциальной компонент поля скоростей), связанных с периодическим волновым движением свободной поверхности слоя вязкой жидкости конечной толщины, рассматривался в [6]. Выяснилось, что при распространении капиллярно-гравитационной волны по свободной поверхности слоя вязкой жидкости на твердом дне с длиной волны, сравнимой с толщиной слоя, поле скоростей течения жидкости, связанного с волной, имеет сложную структуру. В таком случае вихревое движение концентрируется в малой окрестности свободной поверхности и в малой окрестности твердого дна, потенциальное же течение заполняет весь объем жидкости. В ситуации, когда длина волны много больше толщины слоя жидкости, вихревое движение, порождаемое поверхностной волной, заполняет весь ее объем, причем интенсивность вихревого движения у твердого дна может значительно превышать

таковую у свободной поверхности жидкости. Если же толщина слоя много больше длины волны, то вихревое движение концентрируется у свободной поверхности, а в окрестности твердого дна стремится к нулю. Это обстоятельство можно интерпретировать как утверждение, что поверхностная волна не чувствует дна.

Структура течений, связанных с периодическим волновым движением на границе раздела несмешивающихся вязких жидкостей, рассматривалась в работе [7]. Выяснилось, что вихревое движение концентрируется в малых окрестностях поверхности раздела по обе ее стороны, в слоях с толщинами порядка десятых (в зависимости от вязкости жидкости) долей длины волны. Оказалось также, что в окрестности поверхности раздела при переходе через нее величины роторов полей скоростей претерпевают разрыв. Структура гравитационно-капиллярно-флуктуационного волнового движения должна подчиняться таким же закономерностям. Оно отличается от капиллярно-гравитационного только тем, что собственно капиллярное волновое движение с присущим ему законом дисперсии $\omega \propto k\omega \propto k^{3/2}$ ограничено как со стороны длинных волн, так и со стороны коротких волновым движением с законом дисперсии $\omega \propto \sqrt{k}$, где ω — частота волны, k — ее волновое число [1,3,11].

В [1,3,11] рассмотрены особенности волнового движения в тонких слоях жидкости (с толщинами $h \leq 100$ nm), когда становится существенным влияние поля флуктуационных сил [8–10]. Значимым результатом расчетов линейного приближения является то, что в дисперсионном уравнении компоненты, порожденные действием гравитационных и флуктуационных сил, одинаковым образом зависят от волнового числа и входят в него в виде суммы. В нелинейных расчетах получено, что волновые движения жидкости, появляющиеся в результате нелинейного взаимодействия как поправки к волнам, заданным в начальный момент времени, выталкиваются полем флуктуационных сил на периферию

области влияния последних. Величина же нелинейных поправок к амплитуде волны зависит от электрического поля у свободной поверхности жидкости: при наличии электрического поля нелинейные эффекты приводят к увеличению кривизны вершин поля, а в отсутствие поля к снижению их кривизны.

В настоящей работе предлагается обратить внимание на то обстоятельство, что твердое дно, создавая в жидкости поле флуктуационных сил, модифицирует свойства жидкости в прилегающем к дну тонком слое толщиной ~ 100 nm, проходящей по границе действия короткодействующих флуктуационных сил [8–10]. Деформация такой границы будет приводить к возникновению внутреннего волнового движения в жидкости. Исследованию особенностей такого волнового движения и посвящена настоящая работа.

Следует отдавать себе отчет, что на практике гравитационно-капиллярно-флуктуационные волны не реализуются и мы имеем дело либо с гравитационно-капиллярными, либо с капиллярно-флуктуационными волнами. Однако их удобно рассматривать вместе как отдельные ветви сплошного спектра гравитационно-капиллярно-флуктуационного волнового движения.

1. Формулировка задачи

Пусть имеются две вязкие несжимаемые жидкости. Одна из жидкостей с плотностью ρ_1 и вязкостью ν_1 заполняет в поле сил тяжести бесконечный по протяженности слой, описываемый геометрическим местом точек $-d \leq z \leq 0$, где d — толщина слоя. Слой первой жидкости покоится на твердом дне. Вторая жидкость с плотностью ρ_2 и вязкостью ν_2 заполняет полупространство $z > 0$ над слоем первой жидкости. Рассмотрение ведется в декартовой системе координат, где ось z направлена против направления ускорения поля силы тяжести $\mathbf{e}_z \parallel -\mathbf{g}$, а ось x — по направлению движения плоской волны $\sim \exp(st - ikx)$ (здесь \mathbf{e}_z — орт оси z , s — комплексная частота волны, k — волновое число, t — время, i — мнимая единица).

Верхнюю жидкость будем считать диэлектриком с электрической проницаемостью ϵ , а нижнюю — идеальным проводником. Граница раздела сред характеризуется коэффициентом поверхностного натяжения γ . Примем, что плоскость $z = 0$ совпадает с невозмущенной границей сред, по которой однородно распределен электрический заряд так, что в верхней жидкости в отсутствие деформации границы раздела существует однородное электростатическое поле $\mathbf{E}_0 \parallel \mathbf{e}_z$.

Согласно существующим представлениям, молекулы жидкости, находящиеся вблизи твердой стенки, ограничены в подвижности и испытывают упорядочивающее действие со стороны стенки, а дипольные молекулы еще и ориентирующее действие [8,12]. Так, экспериментальные исследования [2,8,12] показывают, что в тонких слоях воды с толщиной ~ 100 nm влияние твердой

стенки приводит к увеличению ее вязкости (примерно в 1.5–2 раза), плотности (примерно на 2%) и снижению статической диэлектрической проницаемости (примерно в 3 раза). Причиной указанного изменения физических свойств с наибольшей вероятностью является изменение структуры воды (изменение системы водородных связей), которая вблизи твердой стенки становится более упорядоченной. К таким же результатам приводят и численные модельные эксперименты.

Вернемся теперь к модифицированному тонкому слою жидкости у твердой стенки, молекулы которого упорядочены и имеют преимущественную ориентацию вследствие взаимодействия со стенкой. Плотность и вязкость жидкости в пристеночном слое превышают таковые в объеме жидкости вдали от стенки [2,8,12]. Те же механизмы, которые обуславливают формирование диффузионного двойного электрического слоя у свободной поверхности жидкости, будут действовать и в пристеночном слое. Таким образом, есть основания полагать, что пристеночный слой жидкости отделен от основного ее объема некоторой границей с отличным от нуля коэффициентом межфазного натяжения [8,12]. Особенностью жидкости в пристеночном слое является то, что она находится в поле флуктуационных сил, порождаемых стенкой. Поэтому возможное волновое движение в пристеночном слое жидкости, возбуждаемое межфазной границей, будет реализовываться при определяющем влиянии флуктуационных сил.

Сказанное означает, что со стороны твердого дна на каждую жидкую частицу в слое действуют флуктуационные силы, сильно зависящие от расстояния. Для качественных оценок примем, что они обратно пропорциональны расстоянию l в третьей степени между данной жидкой частицей и твердым дном, что для слоя жидкости толщиной d можно записать в виде [1–3,8–10,12]: $F \propto l^{-3}$.

Давление флуктуационных сил на возмущенную капиллярным волновым движением границу раздела сред $z = \xi(x, t)$ определится как [1–3,8–10,12]: $p_f = A [6\pi(d + \xi)^3]^{-1}$. В реальности показатель степени „3“ в выписанном выражении зависит от расстояния и с его увеличением изменяется от трех до четырех [8,12]. Коэффициент пропорциональности A , имеющий размерность энергии, для слоя жидкости, находящегося на поверхности твердого тела, примем для нижеследующих качественных оценок равным 10^{-13} erg. (Согласно [8], значение константы A для воды, контактирующей с кварцем, равно $1.12 \cdot 10^{-13}$ erg, а для воды, контактирующей со слюдой, — $1.53 \cdot 10^{-13}$ erg).

Пусть в начальный момент времени $t = 0$ поверхность границы раздела жидкостей деформируется плоской капиллярно-гравитационной волной $\xi(x, t) = \xi_0 \exp(st - ikx)$, амплитуда ξ_0 которой по модулю много меньше капиллярной постоянной нижней жидкости: $|\xi_0| \ll \alpha_1 \equiv \sqrt{\gamma/(g\rho_1)}$ (в общем случае амплитуда ξ_0 полагается комплексной). Поля скоростей течений

жидкости в нижней и верхней средах, связанные с бегущей волной, обозначим соответственно $\mathbf{U}^{(1)}(\mathbf{r}, t)$ и $\mathbf{U}^{(2)}(\mathbf{r}, t)$.

Положим, что поля скоростей $\mathbf{U}^{(1)}(\mathbf{r}, t)$ и $\mathbf{U}^{(2)}(\mathbf{r}, t)$ в безразмерных переменных (например, в таких, где $\rho_1 = \gamma = g + \kappa = 1$, где $\kappa \equiv A/2\pi\rho_1 d^4$ — флуктуационный параметр) имеют тот же порядок малости, что и безразмерная амплитуда, которая является малым параметром задачи. За всеми безразмерными величинами оставляем прежние обозначения. Зададимся целью исследовать структуру поля скоростей волнового течения в нижней и верхней средах.

Математическая формулировка задачи, описывающая движение жидкости в анализируемой системе, в безразмерных переменных таких, что $\rho_1 = \gamma = g + \kappa = 1$, имеет вид

$$\begin{aligned} z > \xi: \quad & \frac{d\mathbf{U}^{(2)}}{dt} = -\frac{1}{\rho}\nabla P_2 + \nu_2\Delta\mathbf{U}^{(2)} - \nabla z, \\ & \operatorname{div}(\mathbf{U}^{(2)}) = 0, \quad \Delta\Phi = 0, \\ -d < z < \xi: \quad & \frac{d(\mathbf{U}^{(1)})}{dt} = -\nabla P_1 + \nu_1\Delta\mathbf{U}^{(1)} - \nabla z, \\ & \operatorname{div}(\mathbf{U}^{(1)}) = 0, \\ z = \xi: \quad & \frac{dF}{dt} = 0, \quad F(x, z, t) = z - \xi(x, t), \\ & U_x^{(1)} = U_x^{(2)}, \quad U_z^{(1)} = U_z^{(2)}, \\ & \nu_1 \left[\boldsymbol{\tau}, (\mathbf{n}, \nabla)\mathbf{U}^{(1)} + \mathbf{n}, (\boldsymbol{\tau}, \nabla)\mathbf{U}^{(1)} \right] \\ & = \rho\nu_2 \left(\boldsymbol{\tau}, (\mathbf{n}, \nabla)\mathbf{U}^{(2)} + \mathbf{n}, (\boldsymbol{\tau}, \nabla)\mathbf{U}^{(2)} \right), \\ & -(P_1 - P_2) + 2 \left(\nu_1 \mathbf{n}, (\mathbf{n}, \nabla)\mathbf{U}^{(1)} - \rho\nu_2 \mathbf{n}, (\mathbf{n}, \nabla)\mathbf{U}^{(2)} \right) \\ & - P_e + P_\gamma = 0, \quad \Phi = \text{const}, \\ z \rightarrow \infty: \quad & \nabla\Phi \rightarrow -E_0\mathbf{e}_z, \quad \mathbf{U}^{(2)} \rightarrow 0, \\ z = -d: \quad & \mathbf{U}^{(1)} = 0, \\ t = 0: \quad & \xi = \xi_0 \exp(ikx) + \text{с. с.}, \end{aligned}$$

где $\boldsymbol{\tau}$ и \mathbf{n} — орты касательной и нормали к границе раздела сред; $\rho \equiv \rho_2/\rho_1 \leq 1$; $P_1 = P_1(\mathbf{r}, t)$ и $P_2 = P_2(\mathbf{r}, t)$ — гидродинамическое давление в нижней и верхней жидкости соответственно; $\Phi = \Phi(\mathbf{r}, t)$ — электростатический потенциал; P_e и P_γ — давление на поверхность раздела электрических сил и сил поверхностного натяжения соответственно, где

$$\begin{aligned} P_e = P_e(\mathbf{r}, t) &= \frac{\varepsilon_*}{8\pi} (\nabla\Phi)^2, \\ P_\gamma = P_\gamma(x, t) &= -\frac{\partial^2 \xi / \partial x^2}{[1 + (\partial \xi / \partial x)^2]^{3/2}}. \end{aligned}$$

Аббревиатура с.с. в вышеприведенном условии при $t = 0$ и далее по тексту означает комплексно сопряженное слагаемое.

Поскольку сформулированная эволюционная задача характеризуется производными по времени второго порядка (производные по времени входят в уравнения Навье–Стокса и в кинематическое граничное условие), то должны быть заданы два начальных условия, а не одно. Помимо формы деформации поверхности раздела в начальный момент времени нужно задать еще и профиль поля скоростей при $t = 0$. Однако в нижеследующих построениях в качестве второго начального условия использовано требование обращения в нуль начальной фазы волновой деформации. Это позволяет получить менее громоздкие финальные выражения для искомым полей скоростей волнового течения в нижней и верхней жидкостях. Удовлетворение требованию обращения в нуль начальной фазы волновой деформации обеспечивается ограничением области допустимых значений комплексной амплитуды ξ_0 областью вещественных неотрицательных значений.

После линеаризации и снесения граничных условий на невозмущенную поверхность раздела сред математическая формулировка задачи примет вид

$$z > 0: \quad \frac{\partial \mathbf{U}^{(2)}}{\partial t} = -\frac{1}{\rho}\nabla P_2 + \nu_2\Delta\mathbf{U}^{(2)} - \nabla z,$$

$$\operatorname{div}(\mathbf{U}^{(2)}) = 0, \quad (1)$$

$$\Delta\phi_* = 0, \quad (2)$$

$$\begin{aligned} -d < z < 0: \quad & \frac{\partial \mathbf{U}^{(1)}}{\partial t} = -\nabla P_1 + \nu_1\Delta(\mathbf{U}^{(1)}) - \nabla z, \\ & \operatorname{div}(\mathbf{U}^{(1)}) = 0, \end{aligned} \quad (3)$$

$$\begin{aligned} z = 0: \quad & -\frac{\partial \xi}{\partial t} + U_z^{(1)} = 0, \\ & U_x^{(1)} = U_x^{(2)}; \quad U_z^{(1)} = U_z^{(2)}, \end{aligned} \quad (4)$$

$$\nu_1 \left(\frac{\partial U_z^{(1)}}{\partial x} + \frac{\partial U_x^{(1)}}{\partial z} \right) = \rho\nu_2 \left(\frac{\partial U_z^{(2)}}{\partial x} + \frac{\partial U_x^{(2)}}{\partial z} \right), \quad (5)$$

$$\begin{aligned} & - \left(P_1 + \xi \frac{\partial P_1}{\partial z} - P_2 - \xi \frac{\partial P_2}{\partial z} \right) \\ & + 2 \left(\nu_1 \frac{\partial U_z^{(1)}}{\partial z} - \rho\nu_2 \frac{\partial U_z^{(2)}}{\partial z} \right) - P_{e,0} - p_e + p_\gamma = 0, \end{aligned} \quad (6)$$

$$\phi_* = -\xi \frac{\partial \Phi_0}{\partial z}, \quad (7)$$

$$z \rightarrow \infty: \quad \nabla\phi_* \rightarrow 0, \quad (8)$$

$$\mathbf{U}^{(2)} \rightarrow 0, \quad (9)$$

$$z = -d: \quad \mathbf{U}^{(1)} = 0, \quad (10)$$

$$t = 0: \quad \xi = \xi_0 \exp(-ikx) + \text{с. с.}, \quad (11)$$

где $\phi_0 \equiv -E_0 z$ — потенциал электростатического поля над невозмущенной поверхностью раздела сред, $\phi_* = \phi_*(\mathbf{r}, t)$ — компонента потенциала электроста-

тического поля, обусловленная деформацией поверхности раздела $z = \xi(x, t)$ (отметим, что $\Phi(\mathbf{r}, t) = \phi_0(\mathbf{r}, t) + \phi_*(\mathbf{r}, t) + O(\varepsilon^2)$), $P_{e,0}$ — величина давления электрических сил на невозмущенную поверхность раздела сред, определяемая по формуле

$$P_{e,0} = \frac{\varepsilon_*}{8\pi} \left(\frac{\partial \phi_0}{\partial z} \right)^2,$$

p_e и p_γ — поправки первого порядка малости к значениям давления на границу раздела сред электрических сил и сил поверхностного натяжения соответственно, вызванные возмущением поверхности раздела ξ :

$$p_e = \frac{\varepsilon_*}{4\pi} \left(\frac{\partial \phi_0}{\partial z} \frac{\partial \phi_*}{\partial z} \right), \quad p_\gamma = -\frac{\partial^2 \xi}{\partial x^2}.$$

2. Процедура отыскания решения задачи

Двумерность задачи (волновую деформацию формы поверхности раздела сред ξ и поля скоростей $\mathbf{U}^{(1)}$ и $\mathbf{U}^{(2)}$ считаем не зависящими от координаты y) позволяет выполнить разделение полей скоростей на потенциальные и вихревые составляющие на основе теоремы Гельмгольца [13]. Для этого введем скалярные потенциалы поля скоростей $\varphi^{(1)}(\mathbf{r}, t)$ и скалярные функции $\psi(\mathbf{r}, t)$ (имеющие тот же смысл, что и функции тока [14], но несколько иначе определенные) для нижней $\varphi^{(2)}(\mathbf{r}, t)$ и $\psi^{(2)}(\mathbf{r}, t)$ — для верхней жидкостей:

$$\begin{aligned} \mathbf{U}^{(1)}(\mathbf{r}, t) &= \widehat{\mathbf{N}}_1 \varphi^{(1)}(\mathbf{r}, t) + \widehat{\mathbf{N}}_2 \psi^{(1)}(\mathbf{r}, t), \\ \mathbf{U}^{(2)}(\mathbf{r}, t) &= \widehat{\mathbf{N}}_1 \varphi^{(2)}(\mathbf{r}, t) + \widehat{\mathbf{N}}_2 \psi^{(2)}(\mathbf{r}, t), \\ \widehat{\mathbf{N}}_1 &= \nabla, \quad \widehat{\mathbf{N}}_2 = \nabla \times \mathbf{n}_y, \end{aligned} \quad (12)$$

где \mathbf{n}_y — орт декартовой координаты y ; $\widehat{\mathbf{N}}_1$ и $\widehat{\mathbf{N}}_2$ — векторные дифференциальные операторы, удовлетворяющие соотношениям ортогональности и условиям коммутативности с оператором Лапласа. Эрмитовый оператор $\widehat{\mathbf{N}}_1$ выделяет потенциальную часть движения, а антиэрмитовый $\widehat{\mathbf{N}}_2$ — вихревую.

Подставив разложение (12) в уравнения (1)–(3) и приняв собственные значения операторов $(\widehat{\mathbf{N}}_1^\dagger, \widehat{\mathbf{N}}_1)$ и $(\widehat{\mathbf{N}}_2^\dagger, \widehat{\mathbf{N}}_2)$ отличными от нуля (где $\widehat{\mathbf{N}}_j^\dagger$ — оператор, эрмитовосопряженный с $\widehat{\mathbf{N}}_j^\dagger$), получим систему скалярных уравнений

$$\begin{aligned} \frac{\partial \psi^{(j)}}{\partial t} - v_j \Delta \psi^{(j)} &= 0, \quad \Delta \varphi^{(j)} = 0, \quad j = 1, 2 \\ P_1 &= -\frac{\partial \varphi^{(1)}}{\partial t} - z, \quad P_2 = -\rho \left(\frac{\partial \varphi^{(2)}}{\partial t} + z \right). \end{aligned} \quad (13)$$

Подставив разложение (12) в условия (4)–(6), оставив без внимания граничные условия (7) и (8), преобразуем граничные условия для векторных полей скоростей $\mathbf{U}^{(1)}(\mathbf{r}, t)$ и $\mathbf{U}^{(2)}(\mathbf{r}, t)$ (9) и (10) в условия для скалярных функций $\varphi^{(j)}(\mathbf{r}, t)$ и $\psi^{(j)}(\mathbf{r}, t)$, $j = 1, 2$.

Условие (9) преобразуется в соотношения

$$z \rightarrow \infty: \quad \frac{\partial \varphi^{(2)}}{\partial x} - \frac{\partial \psi^{(2)}}{\partial z} \rightarrow 0, \quad \frac{\partial \varphi^{(2)}}{\partial z} + \frac{\partial \psi^{(2)}}{\partial x} \rightarrow 0.$$

Условие (10) преобразуется в соотношения

$$z = -d: \quad \frac{\partial \varphi^{(1)}}{\partial x} - \frac{\partial \psi^{(1)}}{\partial z} = 0, \quad \frac{\partial \varphi^{(1)}}{\partial z} + \frac{\partial \psi^{(1)}}{\partial x} = 0, \quad (14)$$

Граничные условия на поверхности раздела жидкостей (4)–(6) примут вид

$$z = 0: \quad \frac{\partial \xi}{\partial t} = \frac{\partial \varphi^{(1)}}{\partial z} + \frac{\partial \psi^{(1)}}{\partial x}, \quad (15)$$

$$\begin{aligned} \frac{\partial \varphi^{(1)}}{\partial x} - \frac{\partial \psi^{(1)}}{\partial z} &= \frac{\partial \varphi^{(2)}}{\partial x} - \frac{\partial \psi^{(2)}}{\partial z}, \\ \frac{\partial \varphi^{(1)}}{\partial z} + \frac{\partial \psi^{(1)}}{\partial x} &= \frac{\partial \varphi^{(2)}}{\partial z} + \frac{\partial \psi^{(2)}}{\partial x}, \end{aligned} \quad (16)$$

$$\begin{aligned} v_1 \left(2 \frac{\partial^2 \varphi^{(1)}}{\partial x \partial z} + \frac{\partial^2 \psi^{(1)}}{\partial x^2} - \frac{\partial^2 \psi^{(1)}}{\partial z^2} \right) \\ = \rho v_2 \left(2 \frac{\partial^2 \varphi^{(2)}}{\partial x \partial z} + \frac{\partial^2 \psi^{(2)}}{\partial x^2} - \frac{\partial^2 \psi^{(2)}}{\partial z^2} \right), \end{aligned} \quad (17)$$

$$\begin{aligned} \frac{\partial \varphi^{(1)}}{\partial t} + \xi - \rho \frac{\partial \varphi^{(2)}}{\partial t} - \rho \xi + 2v_1 \left(\frac{\partial^2 \varphi^{(1)}}{\partial z^2} + \frac{\partial^2 \psi^{(1)}}{\partial x \partial z} \right) \\ - 2\rho v_2 \left(\frac{\partial^2 \varphi^{(2)}}{\partial z^2} + \frac{\partial^2 \psi^{(2)}}{\partial x \partial z} \right) - P_{e,0} - p_e + p_\gamma = 0. \end{aligned} \quad (18)$$

Таким образом, получена система уравнений, представляющих линейную задачу в скаляризованном виде.

3. Вывод дисперсного уравнения

Ограниченные периодические по x решения будем искать в декартовой системе координат в виде

$$\xi(x, t) = a \exp(st - ikx), \quad (19)$$

$$\begin{aligned} \varphi^{(1)}(x, z, t) &= f_1(t) \\ &+ [B_1 \operatorname{sh}(kz) + B_2 \operatorname{ch}(kz)] \exp(st - ikx), \end{aligned} \quad (20)$$

$$\psi^{(1)}(x, z, t) = [B_3 \operatorname{sh}(q_1 z) + B_4 \operatorname{ch}(q_1 z)] \exp(st - ikx), \quad (21)$$

$$\varphi^{(2)}(x, z, t) = f_2(t) + B_5 \exp(-kz) \exp(st - ikx), \quad (22)$$

$$\psi^{(2)}(x, z, t) = B_6 \exp(-q_2 z) \exp(st - ikx), \quad (23)$$

$$\phi_*(x, z, t) = aE_0 \exp(-kz) \exp(st - ikx), \quad (24)$$

$$q_1 = k\sqrt{1 + \frac{s}{v_1 k^2}}, \quad q_2 = k\sqrt{1 + \frac{s}{v_2 k^2}}, \quad \operatorname{Re} q_2 > 0,$$

где $B_1, B_2, B_3, B_4, B_5, B_6, a, s$ — в общем случае комплексные величины, а $f_1(t)$ и $f_2(t)$ — комплекснозначные функции. Величины a и B_j ($j = \overline{1;6}$) имеют тот же порядок малости, что и амплитуда ξ_0 возмущения границы раздела сред в начальный момент времени, а значения функций $f_1(t)$ и $f_2(t)$ — порядка единицы.

Подставим выражения (20), (21) в условия на дне (14) и выразим неизвестные коэффициенты B_3, B_4 через коэффициенты B_1, B_2 :

$$B_3 = \frac{i}{q_1} \{ -\operatorname{ch}(kd)[kB_2 \operatorname{ch}(q_1 d) + q_1 B_1 \operatorname{sh}(q_1 d)] + \operatorname{sh}(kd)[kB_1 \operatorname{ch}(q_1 d) + q_1 B_2 \operatorname{ch}(q_1 d)] \}, \quad (25)$$

$$B_4 = \frac{i}{q_1} \{ \operatorname{sh}(kd)[q_1 B_2 \operatorname{ch}(q_1 d) + kB_1 \operatorname{sh}(q_1 d)] - \operatorname{ch}(kd)[q_1 B_1 \operatorname{ch}(q_1 d) + kB_2 \operatorname{sh}(q_1 d)] \}. \quad (26)$$

После подстановки проектов решений (19)–(23) в граничные условия (15)–(17) последние трансформируются в алгебраические уравнения для определения неизвестных величин a и B_j ($j = \overline{1;6}$):

$$sa = kB_1 - ikB_4, \quad (27)$$

$$-ikB_2 - q_1 B_3 = -ikB_5 + q_2 B_6, \quad (28)$$

$$v_1 [-2ik^2 B_1 - (k^2 + q_1^2) B_4] = \rho v_2 [2ik^2 B_5 - (k^2 + q_2^2) B_6]. \quad (29)$$

Подстановка выражений (19)–(24) в граничное условие (18) и последующее разбиение данного граничного условия на порядки малости дает два других уравнения для определения неизвестных величин A, B_j ($j = \overline{1;6}$) и функций $f_1(t)$ и $f_2(t)$

$$f_1'(t) - \rho f_2'(t) - \frac{\varepsilon_* E_0^2}{8\pi} = 0, \quad (30)$$

$$(s + 2v_1 k^2) B_2 - 2iv_1 k q_1 B_3 - \rho(s + 2v_2 k^2) B_5 - 2i\rho v_2 k q_2 B_6 + \left(1 - \rho + k^2 - \frac{\varepsilon_* E_0^2}{4\pi} k\right) a = 0. \quad (31)$$

Выражение (30) характеризует баланс гидродинамических давлений со стороны нижней и верхней жидкостей на невозмущенную границу раздела сред (функции f_1 и f_2 не зависят от координат и потому не входят в итоговые выражения для полей скоростей в нижней и верхней жидкостях). Выражение (30) позволяет корректно определить величины невозмущенных компонент гидродинамического давления в нижней и верхней жидкостях. Для этого необходимо зафиксировать величину

гидродинамического давления на невозмущенную границу раздела сред со стороны одной из жидкостей, например, таким образом:

$$z = 0: \quad P_{2,0} = p_0 \equiv \operatorname{const}, \quad (32)$$

где $P_{2,0}$ — невозмущенная компонента гидродинамического давления в верхней жидкости.

В невозмущенном слое выражения для гидродинамических давлений в нижней и верхней жидкостях имеет вид

$$P_{1,0} = -f_1'(t) - z, \quad P_{2,0} = -\rho[f_2'(t) + z]. \quad (33)$$

Здесь $P_{1,0}$ — невозмущенная компонента гидродинамического давления в нижней жидкости. Подставляя выражения (30) и (32) в выражение (33), получим

$$P_{1,0}(z) = p_0 - \frac{\varepsilon_* E_0^2}{8\pi} - z, \quad P_{2,0}(z) = p_0 - \rho z.$$

Итоговые выражения для величин гидродинамических давлений в нижней и верхней жидкостях имеют вид

$$P_1(x, z, t) = P_{1,0}(z) + p_1(x, z, t),$$

$$P_2(x, z, t) = P_{2,0}(z) + p_2(x, z, t),$$

где p_1 и p_2 — поправки первого порядка малости к значениям гидродинамических давлений в нижней и верхней средах соответственно, обусловленные возмущением поверхности раздела сред ξ . Так как в настоящем исследовании наибольший интерес представляют величины полей скоростей жидкости, а не давлений, величины поправок p_1 и p_2 далее подробно не рассматриваются.

Система алгебраических уравнений (25)–(29) и (31) для определения неизвестных величин a, B_j ($j = \overline{1;6}$) имеет нетривиальное решение тогда и только тогда, когда определитель матрицы, составленной из коэффициентов при неизвестных a и B_j ($j = \overline{1;6}$), равен нулю. Данное требование и дает дисперсионное уравнение для отыскания спектра волн в анализируемой системе. Для записи окончательного вида дисперсионного уравнения введем вспомогательные параметры:

$$\Omega = \frac{\omega_0^2}{v_1^2}, \quad \omega_0^2 = k \cdot (1 - \rho + k^2 - Wk),$$

$$W = \frac{\varepsilon_* E_0^2}{4\pi}, \quad N = \frac{v_2}{v_1},$$

где ω_0^2 имеет смысл квадрата частоты капиллярно-гравитационной волны в анализируемой системе в предельном случае идеальных (невязких) жидкостей и бесконечной глубины нижней жидкости; параметр W характеризует устойчивость границы раздела сред к давлению. С учетом введенных параметров дисперсионное

уравнение для отыскания спектра волн в анализируемой системе имеет вид

$$\begin{aligned} & (k - q_2) \left\{ 4k^2 q_1 (k^2 + q_1^2) - q_1 \operatorname{ch}(q_1 d) \right. \\ & \times \left[(5k^4 + 2k^2 q_1^2 + q_1^4) \operatorname{ch}(kd) + \Omega \operatorname{sh}(kd) \right] + k \operatorname{sh}(q_1 d) \\ & \times \left[\Omega \operatorname{ch}(kd) + (k^4 + 6k^2 q_1^2 + q_1^4) \operatorname{sh}(kd) \right] \left. \right\} \\ & + \rho \left(2k q_1 \left[\Omega + (k^2 - q_1^2)(3k^2 + q_1^2) - 2N(3k^2 + q_1^2) \right] \right. \\ & \times (k - q_2) \left. \right) \left[1 - \operatorname{ch}(q_1 d) \operatorname{ch}(kd) \right] - q_1 \operatorname{ch}(q_1 d) \operatorname{sh}(kd) \\ & \times (k^2 - q_1^2)^2 (k - q_2) + \operatorname{sh}(q_1 d) \left\{ (k^2 - q_1^2)^2 (q_1^2 - k q_2) \right. \\ & \times \operatorname{ch}(kd) + \left[\Omega(k^2 + q_1^2) + 2k^2(k^2 - q_1^2)(k^2 + 3q_1^2) \right. \\ & \left. \left. - 4Nk^2(k^2 + 3q_1^2)(k - q_2) \right] \operatorname{sh}(kd) \right\} + \rho^2 \left[(k^2 - q_1^2)^2 \right. \\ & \left. - 4Nk^2(k^2 - q_1^2) + 4N^2 k^3 (k - q_2) \right] \left\{ 2k q_1 \right. \\ & \times \left. \left[1 - \operatorname{ch}(q_1 d) \operatorname{ch}(kd) \right] + (k^2 + q_1^2) \operatorname{sh}(q_1 d) \operatorname{sh}(kd) \right\}. \end{aligned}$$

В ниже приведенном анализе для решения вышеуказанного дисперсионного уравнения используются приближенные (численные) методы, реализованные с помощью компьютерной программы типа Maple.

4. Запись окончательных решений

Решения задачи, удовлетворяющие начальному условию (11), амплитуды которых выражены через ξ_0 — амплитуду начальной волновой деформации, имеют вид

$$\xi(x, t) = \xi_0 \exp(st - ikx) + \text{c. c.},$$

$$\begin{aligned} \varphi^{(1)}(x, z, t) = & \left\{ \xi_0 [B_1 \operatorname{sh}(kz) + B_2 \operatorname{ch}(kz)] \right. \\ & \times \left. \exp(st - ikx) + \text{c. c.} \right\}, \end{aligned}$$

$$\begin{aligned} B_1 = & \frac{s}{k} \frac{1}{\Delta} \left[v_1 (k^2 + q_1^2) (k \operatorname{sh}(q_1 d) \operatorname{ch}(kd) - q_1 \operatorname{ch}(q_1 d) \right. \\ & \times \operatorname{sh}(kd)) - \rho v_2 \{ q_1 (k + q_2) [k(1 - \operatorname{ch}(q_1 d) \operatorname{ch}(kd)) \\ & + q_1 \operatorname{sh}(q_1 d) \operatorname{sh}(kd)] + k(k - q_2) [k \operatorname{sh}(q_1 d) \operatorname{ch}(kd) \\ & \left. - q_1 \operatorname{ch}(q_1 d) \operatorname{sh}(kd)] \right\} \right]. \end{aligned}$$

$$\begin{aligned} B_2 = & \frac{s}{k} \frac{1}{\Delta} \left(v_1 \{ 2k^2 q_1 + (k^2 + q_1^2) [k \operatorname{sh}(q_1 d) \operatorname{sh}(kd) \right. \\ & \left. - q_1 \operatorname{ch}(q_1 d) \operatorname{ch}(kd)] \} - \rho v_2 \{ k(k - q_2) \right. \\ & \times [q_1 (1 - \operatorname{ch}(q_1 d) \operatorname{ch}(kd)) + k \operatorname{sh}(q_1 d) \operatorname{sh}(kd)] \\ & \left. + q_1 (k + q_2) [k \operatorname{ch}(q_1 d) \operatorname{sh}(kd) - q_1 \operatorname{sh}(q_1 d) \operatorname{ch}(kd)] \right\} \right), \end{aligned}$$

$$\begin{aligned} \psi^1(x, z, t) = & \xi_0 [B_2 \operatorname{sh}(q_1 z) + B_4 \operatorname{ch}(q_1 z)] \\ & \times \exp(st - ikx) + \text{c. c.}, \end{aligned}$$

$$\begin{aligned} B_3 = & is \frac{1}{\Delta} \left(v_1 [k^2 + q_1^2 - 2k^2 \operatorname{ch}(q_1 d) \operatorname{ch}(kd) + 2k q_1 \right. \\ & \times \operatorname{sh}(q_1 d) \operatorname{sh}(kd)] - \rho v_2 \left((k - q_2) \right. \\ & \times \{ k [1 - \operatorname{ch}(q_1 d) \operatorname{ch}(kd)] + q_1 \operatorname{sh}(q_1 d) \operatorname{sh}(kd) \} \\ & \left. + (k + q_2) [k \operatorname{sh}(q_1 d) \operatorname{sh}(kd) - q_1 \operatorname{sh}(q_1 d) \operatorname{ch}(kd)] \right) \right) \end{aligned}$$

$$\begin{aligned} B_4 = & -is \frac{1}{\Delta} \left(2v_1 k [k \operatorname{sh}(q_1 d) \operatorname{ch}(kd) - q_1 \operatorname{ch}(q_1 d) \operatorname{sh}(kd)] \right. \\ & \left. - \rho v_2 \left\{ -(k + q_2) [q_1 (1 - \operatorname{ch}(q_1 d) \operatorname{ch}(kd)) + k \operatorname{sh}(q_1 d) \right. \right. \\ & \times \operatorname{sh}(kd)] + (k - q_2) [k \operatorname{sh}(q_1 d) \operatorname{ch}(kd) \\ & \left. \left. - q_1 \operatorname{ch}(q_1 d) \operatorname{sh}(kd)] \right\} \right), \end{aligned}$$

$$\varphi^{(2)}(x, z, t) = \{ \xi_0 B_5 \exp(-kz) \exp(st - ikx) + \text{c. c.} \}$$

$$\begin{aligned} B_5 = & \frac{s}{k(k - q_2)} \frac{1}{\Delta} \left(v_1 [k q_1 (3k^2 + q_1^2) (1 - \operatorname{ch}(q_1 d) \operatorname{ch}(kd)) \right. \\ & \left. - q_2 (k^2 - q_1^2) [k \operatorname{sh}(q_1 d) \operatorname{ch}(kd) - q_1 \operatorname{ch}(q_1 d) \operatorname{sh}(kd)] \right. \\ & \left. + k^2 (k^2 + 3q_1^2) \operatorname{sh}(q_1 d) \operatorname{sh}(kd) \right] - \rho v_2 (k^2 + q_2^2) \left\{ 2k q_1 \right. \\ & \times [1 - \operatorname{ch}(q_1 d) \operatorname{ch}(kd)] + (k^2 + q_1^2) \operatorname{sh}(q_1 d) \operatorname{sh}(kd) \left. \right\} \right), \end{aligned}$$

$$\psi^{(2)}(x, z, t) = \xi_0 B_6 \exp(-q_2 z) \exp(st - ikx) + \text{c. c.},$$

$$\begin{aligned} B_6 = & \frac{is}{k - q_2} \frac{1}{\Delta} \left\{ v_1 (q_1 (3k^2 + q_1^2) [1 - \operatorname{ch}(q_1 d) \operatorname{ch}(kd)] \right. \\ & \left. - (k^2 - q_1^2) [k \operatorname{sh}(q_1 d) \operatorname{ch}(kd) - q_1 \operatorname{ch}(q_1 d) \operatorname{sh}(kd)] \right. \\ & \left. + k (k^2 + 3q_1^2) \operatorname{sh}(q_1 d) \operatorname{sh}(kd) - 2\rho v_2 k \{ 2k q_1 \right. \\ & \times [1 - \operatorname{ch}(q_1 d) \operatorname{ch}(kd)] + (k^2 + q_1^2) \operatorname{sh}(q_1 d) \operatorname{sh}(kd) \} \right\}, \end{aligned}$$

$$\phi_*(x, z, t) = \xi_0 E_0 \exp(-kz) \exp(st - ikx) + \text{c. c.},$$

$$\begin{aligned} \Delta = & s [k \operatorname{sh}(q_1 d) \operatorname{ch}(kd) - q_1 \operatorname{ch}(q_1 d) \operatorname{sh}(kd)] - \rho v_2 (k + q_2) \\ & \times \{ 2k q_1 [1 - \operatorname{ch}(q_1 d) \operatorname{ch}(kd)] + (k^2 + q_1^2) \operatorname{sh}(q_1 d) \operatorname{sh}(kd) \}. \end{aligned}$$

Выпишем теперь компоненты векторов $\mathbf{U}^{(1)}(x, z, t)$ и $\mathbf{U}^{(2)}(x, z, t)$ — поле скоростей течения нижней и верхней жидкостей:

$$\begin{aligned} U_x^{(1)}(x, z, t) = & -i \xi_0 \left\{ k (B_1 \operatorname{sh}(kz) + B_2 \operatorname{ch}(kz)) \right. \\ & \left. - i q_1 [B_3 \operatorname{ch}(q_1 z) + B_4 \operatorname{sh}(q_1 z)] \right\} \exp(st - ikx) + \text{c. c.}, \end{aligned}$$

$$\begin{aligned} U_z^{(1)}(x, z, t) = & \xi_0 k \left\{ B_1 \operatorname{ch}(kz) + B_2 \operatorname{sh}(kz) \right. \\ & \left. - i [B_3 \operatorname{sh}(q_1 z) + B_4 \operatorname{ch}(q_1 z)] \right\} \exp(st - ikx) + \text{c. c.}, \end{aligned}$$

$$\begin{aligned} U_x^{(2)}(x, z, t) = & -\xi_0 [i k B_5 \exp(-kz) - q_2 B_6 \exp(-q_2 z)] \\ & \times \exp(st - ikx) + \text{c. c.}, \end{aligned}$$

$$\begin{aligned} U_z^{(2)}(x, z, t) = & -\xi_0 k [B_5 \exp(-kz) + i B_6 \exp(-q_2 z)] \\ & \times \exp(st - ikx) + \text{c. c.} \end{aligned}$$

5. Анализ полученных результатов

Расчеты показывают, что зависимости от глубины величин компонент поля скоростей U_x и U_z и величины ротора поля скоростей в нижней среде в случае, когда нижней средой является вода, а верхней средой — воздух (при этом $v_1 = 0.002$, $v_2 = 0.03$, $\rho = 0.001$), аналогичны зависимостям, приведенным в [6] для капиллярно-гравитационных волн. Воздух практически не оказывает

влияния на течение воды в слое. Достаточно очевидно то, что данный факт обусловлен низкой плотностью верхней среды (воздуха). Согласно расчетным данным, верхняя среда практически не оказывает влияния на распределение поля скоростей в нижней среде, когда $\rho \leq 0.001$ и $N \equiv \nu_2/\nu_1 \leq 15$. В то же время при $\rho > 0.001$ или $N > 15$ влияние верхней среды заметно сказывается на распределении поля скоростей в нижней среде (в большей степени — на интенсивности вихревого движения нижней среды вблизи границы раздела сред, в меньшей степени — на величинах компонент поля скоростей).

Таким образом, при расчетах течений, наблюдаемых в тонких слоях жидкости при волновом движении, при наличии над слоем жидкости верхней среды, плотность которой как минимум на три порядка меньше плотности нижней среды ($\rho \leq 0.001$) и кинематическая вязкость которой меньше величины кинематической вязкости нижней среды более чем в 15 раз ($N \leq 15$), допускается применять упрощенные математические модели, не учитывающие влияние верхней среды (например, модель, описанную в [6]), а не вышеописанную математическую модель, которая может оказаться сложной для расчета. В то же время при расчетах течений в тонких слоях жидкости при $\rho > 0.001$ или $N > 15$ должны применяться математические модели, учитывающие влияние верхней среды.

Численный анализ описанной выше математической модели показывает, что при наличии над слоем жидкости верхней среды с $\rho > 0.001$ наблюдается уменьшение величины горизонтальной компоненты поля скоростей нижней жидкости в узком слое, прилегающем к границе раздела сред. На рис. 1 приведены зависимости для случая, когда плотности нижней и верхней сред сравнимы друг с другом: $\rho = 0.9$ (ситуация, реализуемая для жидкостной эпитаксии или для стратифицированной по физико-химическим свойствам жидкости [15]). Анализ зависимостей, приведенных на рис. 1а показывает, что величина горизонтальной компоненты поля скоростей в узком слое нижней жидкости, прилегающем к границе раздела сред, стремительно убывает с приближением к границе раздела сред и при $z = 0$ становится близкой к нулю. Толщина вышеуказанного слоя нижней жидкости вблизи границы раздела сред имеет порядок сотых долей длины капиллярно-гравитационной волны. Величина вертикальной компоненты поля скоростей в пределах всего слоя нижней жидкости меняется не столь значительно. Расчеты (рис. 1, b) показывают, что в верхней среде также наблюдается уменьшение величины горизонтальной компоненты поля скоростей в узком слое вблизи границ раздела сред. В частности, в случае с $\rho = 0.9$ величина горизонтальной компоненты поля скоростей в указанном слое стремительно убывает с приближением к границе раздела сред и при $z = 0$ близка к нулю. Интенсивность вихревой компоненты течения жидкостей вблизи границ увеличивается, как это видно из рис. 1, c. В верхней жидкости она спадает до

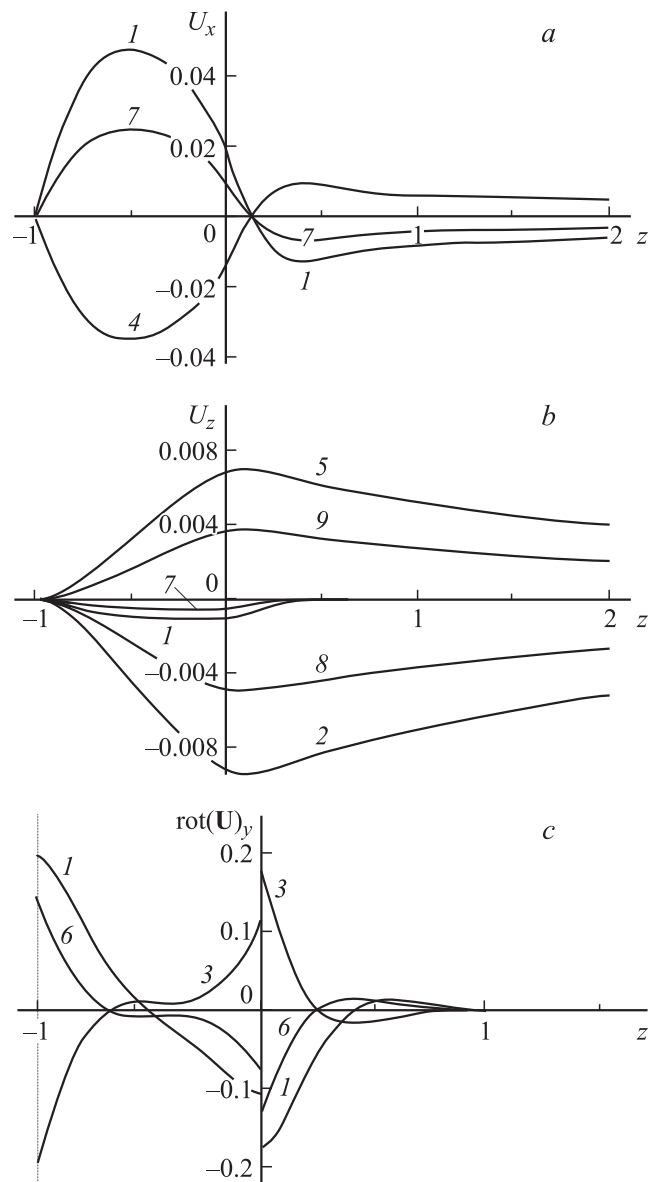


Рис. 1. Зависимости величин компонент поля скоростей U_x (a), U_z (b), ротора поля скоростей (c) течения жидкостей от безразмерной вертикальной координаты (в сечении $x = 0$), рассчитанные при $d = 1$, $W = 0$, $\rho = 0.9$, $\nu_1 = 0.003$, $\nu_2 = 0.002$, $k = 0.3$, $\xi_0 = 0.05$ в различные моменты времени: 1 — $t = 0$; 2 — $t = 0.2T$; 3 — $t = 0.35T$; 4 — $t = 0.5T$; 5 — $t = 0.7T$; 6 — $t = 0.85T$; 7 — $t = T$; 8 — $t = 1.2T$; 9 — $t = 1.7T$. Здесь и далее на последующих рисунках: T — длительность интервала времени, условно называемого периодом волны, величина которой обратно пропорциональна частоте волны $\omega = \text{Im } s$ и определяется по формуле $T = 2\pi/\omega = 2\pi/(\text{Im } s)$.

нуля на расстоянии порядка глубины нижней жидкости. Вихревое движение хотя и охватывает весь нижний слой, как это и должно быть для волн, длина которых сравнима с толщиной слоя, но является малоинтенсивным (рис. 1, c). Для сравнения на рис. 2 приведена зависимость от вертикальной координаты ротора поля

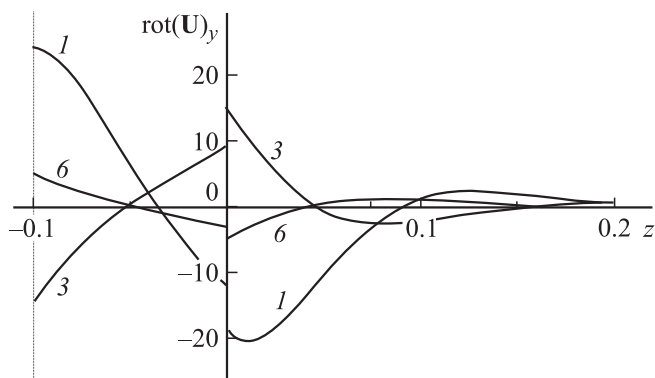


Рис. 2. Зависимости величины ротора поля скоростей течения жидкостей от безразмерной вертикальной координаты (в сечении $x = 0$), рассчитанные при $d = 0.1$, $W = 0$, $\rho = 0.9$, $\nu_1 = 0.003$, $\nu_2 = 0.02$, $k = 3$, $\xi_0 = 0.05$ в различные моменты времени: 1 — $t = 0$.

скоростей, рассчитанная при том же значении $kd = 0.3$, но в десять раз меньшей толщине слоя жидкости и на порядок большей длине волны. Видно, что в этом случае интенсивность ротора на 2 порядка больше.

Отметим, что зависимость на рис. 1 и 2 построены при величине безразмерной кинематической вязкости верхней среды $\nu_2 = 0.002$. Расчеты показывают, что для компонент поля скоростей U_x и U_z нижней среды, экспоненциально затухающих во времени, при увеличении кинематической вязкости верхней среды скорость затухания также увеличивается. Причем увеличение скорости наблюдается не только вблизи границы раздела нижней и верхней сред, но и во всем слое нижней жидкости, включая придонную область. Кроме того, с увеличением кинематической вязкости верхней среды наблюдается более стремительное убывание величины горизонтальной компоненты поля скоростей нижней жидкости в узком слое, прилегающем к границе раздела сред, с приближением к границе раздела сред. Увеличение кинематической вязкости верхней среды приводит также к увеличению интенсивности вихревого движения нижней среды вблизи границы раздела сред, в то время как вблизи твердого дна в нижней среде заметного изменения величины интенсивности вихревого движения не наблюдается.

С уменьшением величины кинематической вязкости верхней среды все описанные выше эффекты уменьшаются и в пределе при $\nu_2 \rightarrow 0$ полностью исчезают. Данный факт обусловлен тем (и расчеты это подтверждают), что верхняя идеальная (невязкая) среда не оказывает какого-либо влияния на поле скоростей нижней вязкой жидкости. На основании данного факта можно сделать следующий вывод: при расчетах течений в слоях вязкой жидкости конечной толщины при наличии над слоем жидкости невязкой верхней среды (или среды с вязкостью пренебрежимо малой в сравнении с вязкостью нижней среды) допускается применять упрощенные ма-

тематические модели, не учитывающие влияние верхней среды.

На рис. 3 приведены зависимости компонент скорости и ротора, рассчитанные для $k = 3$ и $d = 1$. Видно, что качественно и количественно по сравнению с рис. 1 вид кривых заметно изменился. Для рассматриваемых коротких волн вихревое движение отлично от нуля только вблизи дна и возле границы раздела сред.

Заметим, что зависимости на рис. 3 построены для волны с волновым числом $k = 3$. Расчеты показывают, что с уменьшением длины волны (с увеличением

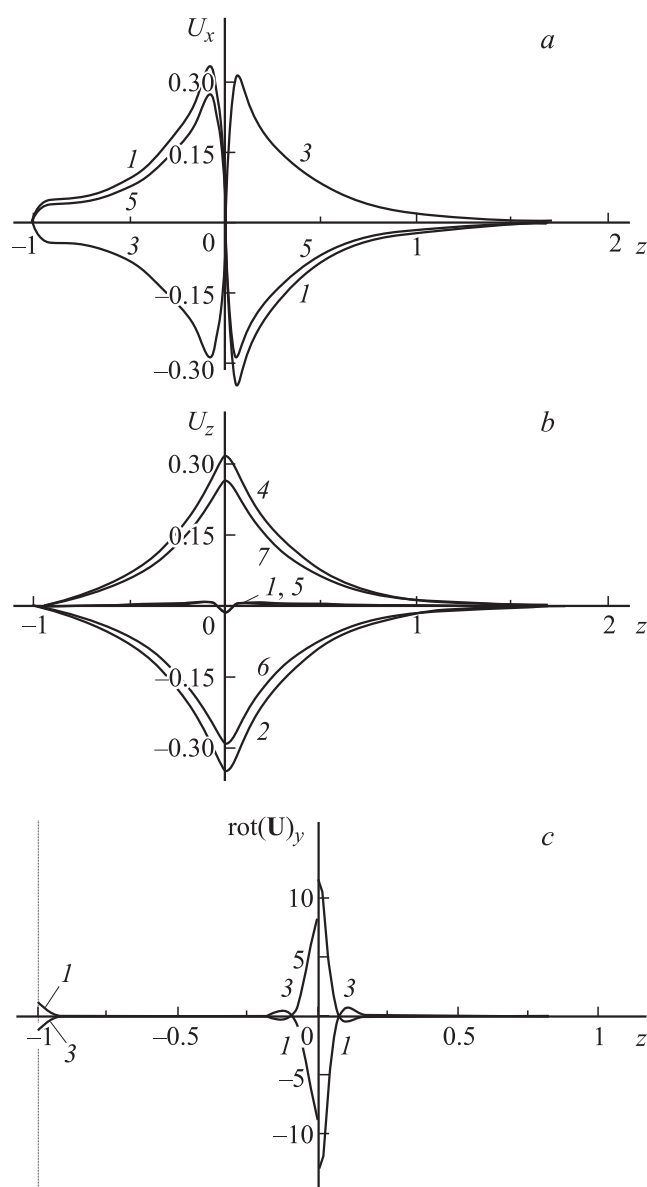


Рис. 3. Зависимости величин компонент поля скоростей U_x (a), U_z (b), ротора поля скоростей (c) течения жидкостей от безразмерной вертикальной координаты (в сечении $x = 0$), рассчитанные при $d = 1$, $W = 0$, $\rho = 0.9$, $\nu_1 = 0.003$, $\nu_2 = 0.002$, $k = 3$, $\xi_0 = 0.05$ в различные моменты времени: 1 — $t = 0$; 2 — $t = 0.25T$; 3 — $t = 0.5T$; 4 — $t = 0.75T$; 5 — $t = T$; 6 — $t = 1.25T$; 7 — $t = 1.75T$.

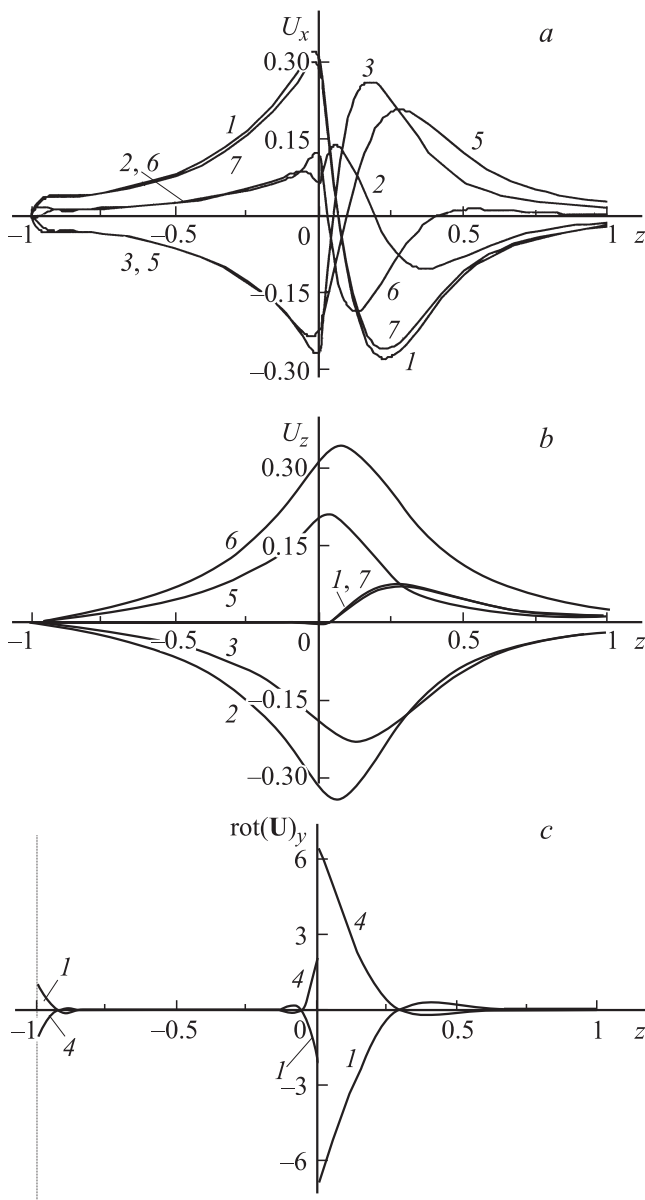


Рис. 4. Величины компонент поля скоростей U_x (a), U_z (b), ротора поля скоростей (c) в нижней (при $z < 0$) и верхней (при $z > 0$) средах в зависимости от безразмерной вертикальной координаты (в сечении $x = 0$), рассчитанные в случае, когда нижней средой является вода ($\nu_1 = 0.002$), а верхней средой — воздух ($\nu_2 = 0.003$) при $d = 1$, $W = 1.99$, $k = 3$, $\xi_0 = 0.05$ в различные моменты времени: 1 — $t = 0$; 2 — $t = T/5$; 3 — $t = 2T/5$; 4 — $t = T/2$; 5 — $t = 3T/5$; 6 — $t = 4T/5$; 7 — $t = T$.

волнового числа) структура поля скоростей в нижней жидкости, обусловленного волной, меняется следующим образом: движение жидкости вблизи дна уменьшается, сосредотачиваясь в основном в узком приповерхностном слое вблизи границы раздела сред; амплитудные значения компонент поля скоростей и ротора поля скоростей вблизи границы раздела сред увеличиваются.

Приведенные на рис. 4 зависимости построены при массовых плотностях, характерных для воды и воздуха, и поверхностной плотности электрического заряда на границе раздела сред, близкой к критической для реализации ее неустойчивости:

$$W \rightarrow W_{cr}, \quad W_{cr} = 2\sqrt{1 - \rho}$$

(при $\rho = 0.9$ $W_{cr} \approx 0.6325$). Из сравнения рис. 3 и 4 видно, что при увеличении поверхностной плотности электрического заряда на границе раздела сред формы зависимостей компонент поля скоростей и величины ротора сохраняются.

Заключение

При распространении гравитационно-капиллярно-флуктуационной волны (естественно, в реальности имеем дело либо с гравитационно-капиллярными либо с капиллярно-флуктуационными волнами) по горизонтальной плоской поверхности раздела двух вязких несмешивающихся сред в случае, когда плотность верхней среды на 3 порядка меньше плотности нижней среды, и величина кинематической вязкости верхней среды не превышает величину кинематической вязкости нижней среды существенно больше, чем на порядок (например, в ситуации, когда нижней средой является вода, а верхней средой — воздух), верхняя среда не оказывает влияния на движение жидкости в нижней среде. Данный факт позволяет при расчетах течений в тонких слоях воды при наличии воздуха над слоем применять упрощенные математические модели, не учитывающие влияние верхней среды (например, модель, описанную в работе [6]).

При наличии над слоем жидкости верхней среды с плотностью, сравнимой с плотностью нижней среды, характер волнового движения нижней среды вблизи границы раздела сред существенно отличается от характера волнового движения, когда влияние верхней среды не учитывается. В частности, наблюдается значительное уменьшение величины горизонтальной компоненты поля скоростей вблизи границы раздела сред и движение жидких частиц на границе раздела приобретает сугубо вертикально ориентированный характер.

Работа выполнена при поддержке грантов Рособнаучки № РНП 2.1.1/3776 и РФФИ № 09-01-00084.

Список литературы

- [1] Саночкин Ю.В. // ЖТФ. 2003. Т. 73. Вып. 5. С. 24–29.
- [2] Алтоиз Б.А., Кириян С.В., Шатагина Е.А. // ЖТФ. 2010. Т. 80. Вып. 10. С. 37–40.
- [3] Григорьев А.И. // ЖТФ. 2011. Т. 81. Вып. 6. С. 30–35.
- [4] Ширяева С.О., Григорьев О.А., Григорьев А.И. // ЖТФ. 1996. Т. 66. Вып. 9. С. 21–30.
- [5] Ширяева С.О., Григорьев О.А., Григорьев А.И. // ЖТФ. 1996. Т. 66. Вып. 10. С. 31–46.

- [6] Григорьев А.И., Пожарицкий Д.М., Ширяева С.О. // ЖТФ. 2009. Т. 79. Вып. 2. С. 51–57.
- [7] Григорьев А.И., Пожарицкий Д.М., Ширяева С.О. // ЖТФ. 2009. Т. 79. Вып. 9. С. 36–42.
- [8] Дерягин Б.В. Теория устойчивости коллоидов и тонких пленок. М.: Наука, 1986. 205 с.
- [9] Френкель Я.И. Кинетическая теория жидкости. М.: Наука, 1975. 592 с.
- [10] Лифшиц Е.М., Питаевский Л.П. Теоретическая физика. Т. 9. Статистическая физика. Ч. 2 М.: Наука, 1978. 448 с.
- [11] Климов А.В., Григорьев А.И. // ЖТФ. 2009. Т. 79. Вып. 10. С.14–21.
- [12] Дерягин Б.В., Чураев Н.В., Муллер В.М. Поверхностные силы. М.: Наука, 1985. 400 с.
- [13] Левич В.Г. Физико-химическая гидродинамика. М.: Физматгиз, 1959. 699 с.
- [14] Ширяева С.О., Григорьев А.И. Скаляризация векторных краевых задач гидродинамики. Ярославль: Изд-во ЯрГУ, 2010. 180 с.
- [15] Григорьев А.И., Ширяева С.О., Федоров М.С. // ЖТФ. 2010. Т. 80. Вып. 7. С. 8–17.